

Ю.А.Еремин¹, В.В.Лопушенко²

ИССЛЕДОВАНИЕ ВЛИЯНИЯ ПРОСТРАНСТВЕННОЙ ДИСПЕРСИИ НА КОЭФФИЦИЕНТ УСИЛЕНИЯ ПОЛЯ МАГНИТОПЛАЗМОННЫХ НАНОЧАСТИЦ*

Введение

Явление поверхностного плазмонного резонанса (ПР) заключается в способности металлических частиц из благородных металлов концентрировать и удерживать значительную электромагнитную энергию в сверхмалых объемах, намного превосходящих Рэлеевский предел. Кроме того, большая часть этой энергии удерживается вблизи поверхности с экспоненциальным убыванием на порядки в направлении нормали к поверхности на субнанометровом расстоянии [1]. Изучающая это явление наноплазмоника в настоящее время становится одним из драйверов технического прогресса во многих областях: метаповерхности, нанобиосенсоры, биметаллические частицы для улавливания и трансформации солнечной энергии, магнитоплазмонные наночастицы для выявления, диагностики и лечения онкологических образований - лишь немногие примеры ее применения.

Достижения магнитоплазмоники композитных наноструктур широко используются во многих биомедицинских приложениях [2]. В настоящее время стало возможным синтезировать наноматериалы с заданными физико-химическими свойствами, четко определенными размерами, формой и составом [3]. Особое внимание уделяется наноструктурам типа ядро-оболочка magnetit@Au, которые проявляют как плазмонные свойства в оптическом диапазоне, так и магнитные свойства в стационарном магнитном поле. Такие структуры применяются в оптических сенсорах, электрохимических ДНК-биосенсорах, для визуализации и диагностики опухолей и фототермической терапии онкологических образований [4]. Возможность управления оптическими свойствами подобных гибридных наночастиц в широком спектральном диапазоне за счет регулируемых размеров ядра и оболочки делает эти структуры важным объектом исследований в наномедицине [5].

¹ Факультет ВМК МГУ имени М.В.Ломоносова, e-mail: eremin@cs.msu.ru

² Факультет ВМК МГУ имени М.В.Ломоносова, e-mail: lopushnk@cs.msu.ru

* Исследование выполнено за счет гранта Российского научного фонда № 22-21-00110, <https://rscf.ru/project/22-21-00110/>

Следует отметить ряд преимуществ гибридных наночастиц. Прежде всего это высокий показатель преломления ядра и возможность их дешевого и быстрого синтеза [4]. Золотая оболочка надежно защищает магнетит от коррозии в агрессивной среде, обеспечивая биосовместимую платформу для визуализации и лечения опухолей. Манипулируя размерами ядра и толщиной оболочки, можно смещать положение плазмонного резонанса в пленке из ультрафиолетового в ближний инфракрасный диапазон, где глубина проникновения электромагнитных волн максимальна из-за прозрачности человеческих тканей [5]. Благодаря магнитному сердечнику наночастицы magnetit@Au могут быть доставлены в заранее заданное место в организме и сконцентрированы там посредством наложения внешнего магнитного поля, что существенно облегчает диагностику и лечение, а также снижает степень вредного воздействия излучения на здоровые клетки [6].

Быстрый прогресс синтеза магнитоплазмонных наноструктур обуславливает их непрерывную миниатюризацию [7]. Уже сейчас синтезируются частицы со средним размером 15–25 нм, включая толщину золотой оболочки, составляющую 2–5 нм [8]. Однако, уменьшение толщины золотой оболочки до нескольких нанометров приводит к тому, что электронные взаимодействия в благородных металлах приходится учитывать гораздо строже. Дело в том, что когда характерный размер металлической оболочки становится сравнимым с длиной волны Ферми электронов (~5 нм), возникает пространственная дисперсия металла. В этом случае нарушаются обычные локальные соотношения между электрическим полем и смещением, входящие в систему уравнений Максвелла. Как следствие, возникает квантовый эффект пространственной дисперсии (ПД) [9]. Для изучения подобных эффектов можно использовать чисто квантовый подход, основанный на решении уравнения Шредингера для облака электронов в металле, без учета спина электрона [10]. Однако такой подход становится обременительным в вычислительном отношении для частиц размером более десятка нанометров и для металлов с высокой плотностью свободных носителей заряда таких, как благородные металлы (Au, Ag, Pt) [11].

В настоящее время при анализе влияния ПД на оптические характеристики плазмонных структур наиболее востребованы модели, которые учитывают возникающие квантовые эффекты, но при этом позволяют оставаться в рамках электромагнитной теории Максвелла. Одним из наиболее популярных полуклассических подходов, учитывающих ПД, является гидродинамическая модель Друде [12]. Отметим, что она имеет существенный недостаток, связанный с необходимостью корректировать квантовые параметры модели в зависимости от размера частиц. В качестве альтернативы была разработана

модель обобщенного нелокального оптического отклика (ОНО). В этой модели корректировка параметров осуществляется естественным образом за счет включения коэффициента диффузии электронов в гидродинамическую модель [13].

В настоящей работе на основе метода Дискретных источников (МДИ) [14] строится математическая модель слоистой наночастицы magnetit@Au, учитывающая ПД в золотой оболочке на основе теории ОНО. Проведен анализ дополнительных граничных условий на границе раздела magnetit-Au, обеспечивающих однозначную разрешимость граничной задачи дифракции. Исследовано влияние ПД на коэффициент усиления поля на внешней границе слоистой частицы, в том числе и с учетом возможной асимметрии во взаимном расположении ядра и оболочки.

Постановка задачи дифракции

Рассмотрим слоистую частицу, расположенную в свободном пространстве D_e и состоящую из двух вложенных друг в друга шаров, центры которых находятся на оси OZ . Ядро частицы обозначим как D_c , а область оболочки – D_s . Пусть ∂D_c и ∂D_s означают поверхности соответственно внутренней и внешней сфер. Будем полагать, что все среды в областях D_i , $i = e, s, c$ являются немагнитными в оптическом диапазоне длин волн, а их комплексные диэлектрические проницаемости ε_i , $i = e, s, c$ зависят только от длины волны.

Выберем в качестве внешнего возбуждения линейно поляризованную плоскую волну P/S поляризации, которая распространяется под углом $\pi - \theta_0$ по отношению к направлению оси OZ . Тогда электромагнитные поля принимают вид для P-поляризации:

$$\begin{aligned} \mathbf{E}_0^P &= (\mathbf{e}_x \cos \theta_0 + \mathbf{e}_z \sin \theta_0) \psi_0(x, z), \\ \mathbf{H}_0^P &= -\sqrt{\varepsilon_e} \mathbf{e}_y \psi_0(x, z) \end{aligned} \quad (1)$$

и, соответственно, для S-поляризации:

$$\begin{aligned} \mathbf{E}_0^S &= \mathbf{e}_y \psi_0(x, z), \\ \mathbf{H}_0^S &= \sqrt{\varepsilon_e} (\mathbf{e}_x \cos \theta_0 + \mathbf{e}_z \sin \theta_0) \psi_0(x, z). \end{aligned} \quad (2)$$

Здесь $\psi_0(x, z) = \exp\{-jk_e(x \sin \theta_0 - z \cos \theta_0)\}$, а $\mathbf{e}_x, \mathbf{e}_y, \mathbf{e}_z$ - единичные векторы Декартовой системы координат.

Вследствие пространственной дисперсии в области D_s возникает продольное поле $\mathbf{E}^L: \text{rot} \mathbf{E}^L = 0$, которое вместе с классическим поперечным полем $\mathbf{E}^T: \text{div} \mathbf{E}^T = 0$ составляет полную систему полей. Таким образом, внутри оболочки поле представляется в виде $\mathbf{E}_s = \mathbf{E}_s^T + \mathbf{E}_s^L$. Как показано в [15] эти поля удовлетворяют уравнениям Гельмгольца

$$\Delta \mathbf{E}^T(M) + k_T^2 \mathbf{E}^T(M) = 0, \quad (3)$$

$$\Delta \mathbf{E}^L(M) + k_L^2 \mathbf{E}^L(M) = 0, \quad (4)$$

где $k_T^2 = k^2 \varepsilon_s$, $k_L^2 = \varepsilon_s / \xi$ есть поперечное и продольное волновые числа, $k = \frac{\omega}{c}$, параметр $\xi^2 = \frac{\varepsilon_s(\beta^2 + D(\gamma + j\omega))}{(\omega^2 - j\gamma\omega)}$, γ - коэффициент затухания, β - гидродинамическая скорость электрона в плазме, связанная со скоростью Ферми v_F соотношением $\beta^2 = 3/5 v_F^2$, а D есть коэффициент диффузии электронов [16].

Как известно, появление дополнительного поля в оболочке требует дополнительного граничного условия на границах раздела сред для однозначного решения граничной задачи дифракции. Поскольку во внешней среде отсутствует поглощение $Im \varepsilon_e = 0$, то на ∂D_s ставится дополнительное условие обращения в нуль нормальной составляющей тока проводимости [15]. Так как показатель преломления магнетита является комплексным, постановка граничного условия на ∂D_c требует обсуждения. Как показано в [17], при небольших значениях мнимой части показателя преломления, например $Fe_2O_3 : n_c = 2.90 - 0.02j$; и $Fe_3O_4 : n_c = 2.32 - 0.12j$ для характерной длины волны $\lambda = 750 \text{nm}$, плазменные эффекты могут возникать в том случае, когда частицы перестают быть наноразмерными. Только в этом случае может образоваться достаточное количество свободных носителей заряда. Таким образом, граничное условие непротекания тока через границу раздела Au – магнетит ∂D_c представляется обоснованным и может быть использовано в качестве дополнительного граничного условия для обеспечения единственности решения граничной задачи дифракции в случае наноразмерного ядра [15].

В итоге математическая постановка задачи дифракции принимает следующий вид:

- а. Классическая система уравнений Максвелла внутри ядра и вне частицы

$$\nabla \times \mathbf{H}_i = jk \varepsilon_i \mathbf{E}_i, \quad \nabla \times \mathbf{E}_i = -jk \mathbf{H}_i \quad \text{in } D_i, i = e, c; \quad (5a)$$

- б. квазиклассическая система Максвелла внутри оболочки

$$\nabla \times \mathbf{H}_s = jk(\varepsilon_s + \xi^2 \nabla \nabla \cdot) \mathbf{E}_s(M), \quad \nabla \times \mathbf{E}_s = -jk \mathbf{H}_s \quad \text{in } D_s; \quad (5b)$$

- с. условия сопряжения для полей на сферах $\partial D_{c,s}$, включая дополнительные условия, связанные с продольным полем в оболочке

$$\begin{array}{ll} P \in \partial D_c : & P \in \partial D_s : \\ \mathbf{n}_c \times (\mathbf{E}_c(P) - \mathbf{E}_s(P)) = 0, & \mathbf{n}_s \times (\mathbf{E}_s(P) - \mathbf{E}_e(P)) = \mathbf{n}_s \times \mathbf{E}_0(P), \\ \mathbf{n}_c \times (\mathbf{H}_c(P) - \mathbf{H}_s(P)) = 0, & \mathbf{n}_s \times (\mathbf{H}_s(P) - \mathbf{H}_e(P)) = \mathbf{n}_s \times \mathbf{H}_0(P), \\ \varepsilon_c \mathbf{n}_c \cdot \mathbf{E}_c(P) = \varepsilon_L \mathbf{n}_c \cdot \mathbf{E}_s(P), & \varepsilon_L \mathbf{n}_s \cdot \mathbf{E}_s(P) = \varepsilon_e \mathbf{n}_s \cdot (\mathbf{E}_e(P) + \mathbf{E}_0(P)); \end{array} \quad (5c)$$

d. Условия излучения Сильвера-Мюллера на бесконечности [18]

$$\lim_{r \rightarrow \infty} r \cdot \left(\mathbf{H}_e \times \frac{\mathbf{r}}{r} - \sqrt{\varepsilon_e} \mathbf{E}_e \right) = 0, \quad r = |M| \rightarrow \infty. \quad (5d)$$

Здесь $\{\mathbf{E}_e, \mathbf{H}_e\}$ - рассеянное поле во внешней области D_e , $\{\mathbf{E}_{c,s}, \mathbf{H}_{c,s}\}$ - полные поля в соответствующих областях $D_{c,s}$, $\mathbf{n}_{c,s}$ - единичные нормали к сферам $\partial D_{c,s}$, при этом параметры сред выбраны так, что $Im \varepsilon_{c,s} \leq 0$, $Im \varepsilon_L \leq 0$, где $\varepsilon_L = \varepsilon_s - \frac{\omega_p^2}{(j\gamma\omega - \omega^2)}$ и ω_p - плазменная частота металла. Зависимость величин от времени имеет вид $\exp\{j\omega t\}$. Будем полагать, что граничная задача (5) имеет единственное решение.

Метод дискретных источников

Перейдем к построению приближенного решения на основе МДИ. Основой представления поперечных полей будут служить векторные потенциалы, записанные в цилиндрической системе координат в виде [14]

$$\begin{aligned} \mathbf{A}_{mn}^{(1)i} &= \{Y_m^i(\eta, z_n^i) \cos(m+1)\varphi; -Y_m^i(\eta, z_n^i) \sin(m+1)\varphi; 0\}, \\ \mathbf{A}_{mn}^{(2)i} &= \{Y_m^i(\eta, z_n^i) \sin(m+1)\varphi; Y_m^i(\eta, z_n^i) \cos(m+1)\varphi; 0\}, \\ \mathbf{A}_n^{(3)i} &= \{0; 0; Y_0^i(\eta, z_n^i)\}, \quad i = c, e, s \pm. \end{aligned} \quad (6)$$

Здесь

$$\begin{aligned} Y_m^c(\eta, z_n^c) &= j_m(k_c r_{\eta z_n^c}) P_m^m(\cos \theta_{z_n^c}), \\ j_m(\cdot) &\text{ - сферическая функция Бесселя,} \\ Y_m^{s\pm}(\eta, z_n^s) &= h_m^{(2,1)}(k_s r_{\eta z_n^s}) P_m^m(\cos \theta_{z_n^s}), \\ h_m^{(2,1)}(\cdot) &\text{ - сферические функции Ханкеля, соответствующие} \\ &\text{ «уходящим» и «приходящим» волнам,} \\ Y_m^e(\eta, z_n^e) &= h_m^{(2)}(k_e r_{\eta z_n^e}) P_m^m(\cos \theta_{z_n^e}), \\ P_m^m(\cos \theta_{z_n^i}) &= \left(\frac{\rho}{r_{\eta z_n^i}}\right)^m, \quad r_{\eta z_n^i}^2 = \rho^2 + (z - z_n^i)^2, \quad \eta = (\rho, z), \quad k_i = kn_i, \end{aligned}$$

$n_i = \sqrt{\varepsilon_i}$ - показатели преломления среды, z_n^i - координаты ДИ на оси вращения, $i = c, e, s$. Следует заметить, что функции $Y_m^i(\eta, z_n^i) \exp(m\varphi)$ удовлетворяют уравнению Гельмгольца (3).

В свою очередь, продольные поля для случая Р-поляризации строятся на основе скалярных потенциалов вида

$$\begin{aligned} \Psi_{mn}^{s\pm}(M) &= h_{m+1}^{(2,1)}(k_L^s R_{\eta z_n^s}) P_{m+1}^{m+1}(\cos \theta_{z_n^s}) \cos(m+1)\varphi, \\ \Psi_n^{s\pm}(M) &= h_0^{(2,1)}(k_L^s R_{\eta z_n^s}), \end{aligned} \quad (7)$$

которые, как легко видеть, являются решениями уравнения (4). Тогда приближенное решение для поперечных и продольных полей может быть записано следующим образом:

$$\begin{aligned}
\mathbf{E}_i^{TN} &= \sum_{m=0}^M \sum_{n=1}^{N_i^m} \left\{ p_{mn}^i \frac{j}{k\varepsilon_i} \nabla \times \nabla \times \mathbf{A}_{mn}^{(1)i} + q_{mn}^i \frac{1}{\varepsilon_i} \nabla \times \mathbf{A}_{mn}^{(2)i} \right\} + \\
&\quad \sum_{n=1}^{N_i^0} r_n^i \frac{1}{k\varepsilon_i} \nabla \times \nabla \times \mathbf{A}_n^{(3)i}, \\
\mathbf{E}_\tau^{LN} &= \sum_{m=0}^M \sum_{n=1}^{\tilde{N}_\tau^m} \tilde{p}_{mn}^\tau \nabla \Psi_{mn}^\tau + \sum_{n=1}^{\tilde{N}_\tau^0} \tilde{r}_n^\tau \nabla \Psi_n^\tau, \quad \tau = i, s \pm, \\
\mathbf{H}_i^N &= \frac{j}{k} \nabla \times \mathbf{E}_i^N, \quad i = e, c, s \pm. \tag{8}
\end{aligned}$$

Важно отметить, что внутри оболочки электромагнитное поле представляет собой сумму "уходящих" и "приходящих" волн:

$$\mathbf{E}_s^{TN} = \mathbf{E}_{s+}^{TN} + \mathbf{E}_{s-}^{TN} + \mathbf{E}_{s+}^{LN} + \mathbf{E}_{s-}^{LN}, \quad \nabla \cdot \mathbf{E}_{s\pm}^{TN} = 0, \quad \nabla \times \mathbf{E}_{s\pm}^{LN} = 0.$$

В случае S-поляризации для построения продольных полей используются скалярные потенциалы вида

$$\Psi_{mn}^{s\pm}(M) = h_{m+1}^{(2,1)}(k_L R_{\eta z_n^s}) P_{m+1}^{m+1}(\cos \theta_{z_n^s}) \sin(m+1)\varphi. \tag{9}$$

В этом случае приближенное решение принимает вид

$$\begin{aligned}
\mathbf{E}_i^{TN} &= \sum_{m=0}^M \sum_{n=1}^{N_i^m} \left\{ p_{mn}^i \frac{j}{k\varepsilon_i} \nabla \times \nabla \times \mathbf{A}_{mn}^{(2)i} + q_{mn}^i \frac{1}{\varepsilon_i} \nabla \times \mathbf{A}_{mn}^{(1)i} \right\} + \\
&\quad \sum_{n=1}^{N_i^0} r_n^i \frac{1}{\varepsilon_i} \nabla \times \nabla \times \mathbf{A}_n^{(3)i}, \\
\mathbf{E}_\tau^{LN} &= \sum_{m=0}^M \sum_{n=1}^{N_\tau^m} \tilde{p}_{mn}^\tau \nabla \Psi_{mn}^\tau, \quad \tau = c, s \pm, \\
\mathbf{H}_i^N &= \frac{j}{k} \nabla \times \mathbf{E}_i^N, \quad i = e, c, s \pm. \tag{10}
\end{aligned}$$

Приближенное решение (8), (10) по построению удовлетворяет всем условиям граничной задачи (5) кроме условий сопряжения (5с) на границах раздела различных сред $\partial D_{c,s}$. Удовлетворяя этим условиям с использованием обобщенного метода коллокаций [19], можно определить неизвестные амплитуды ДИ $\{p_{mn}^i, q_{mn}^i, r_n^i; \tilde{p}_{mn}^\tau, \tilde{r}_n^\tau\}$ последовательно для каждой гармоники m . Более подробное описание предложенной численной схемы можно найти в [20].

Численные результаты

Будем рассматривать слоистую частицу, состоящую из магнитного ядра Fe_nO_m и золотой оболочки $\text{Fe}_n\text{O}_m@Au$ и расположенную в воде с показателем преломления $n_e = 1.333$. Зависящие от длины волны показатели преломления взяты соответственно из базы данных [21] для ядра n_c и из [22] для золотой пленки n_s . Квантовые параметры золота в рамках теории ОНО соответствуют [16]:

$$\begin{aligned}
\omega_p &= 9.02 eV, \quad \gamma = 0.071 eV, \quad v_F = 1.39 \cdot 10^{12} \mu m/sec, \\
D &= 8.62 \cdot 10^8 \mu m^2/sec.
\end{aligned}$$

Проанализируем поведение коэффициента усиления (КУ) поля на внешней границе частицы, который имеет вид

$$F(\theta_0, \lambda) = \int_{\partial D_s} |\mathbf{E}_e^N + \mathbf{E}_0|^2 d\sigma / \int_{\partial D_s} |\mathbf{E}_0|^2 d\sigma.$$

Вначале рассмотрим сферическую частицу с ядром Fe_3O_4 .

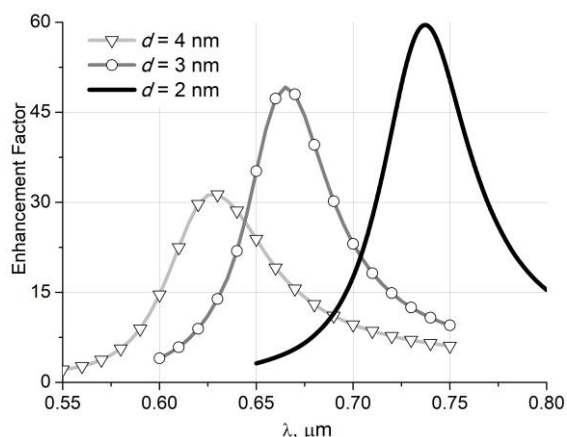


Рис.1 Коэффициент усиления для частиц с различными толщинами оболочки d .

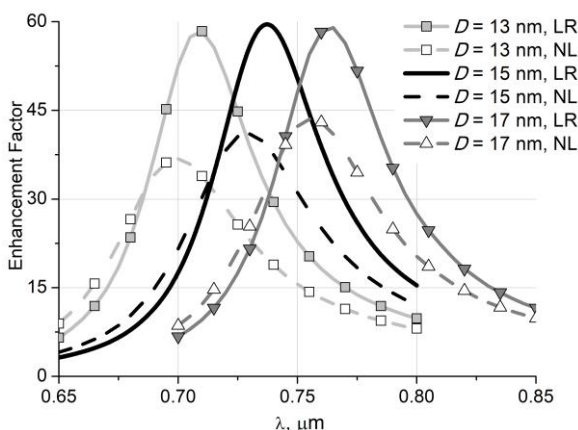


Рис.2 Влияние эффекта нелокальности на коэффициент усиления для частиц с различными диаметрами ядра D .

На рис.1 приведены результаты расчетов КУ для частиц $\text{Fe}_3\text{O}_4@Au$ с диаметром ядра $D=15\text{nm}$ и различными толщинами золотой оболочки d . Результаты получены для локального случая (LR). Из рисунка видно, что уменьшение толщины оболочки ведет к увеличению КУ и сдвигу в ближнюю инфракрасную область. Следует отметить, что окно прозрачности человеческих тканей располагается в диапазоне длин волн 700-950нм [23], поэтому целесообразно всюду далее рассматривать толщину пленки $d=2\text{nm}$.

Рис. 2 демонстрирует влияние эффекта нелокальности (NL) на КУ поля для аналогичных частиц, но с различными диаметрами ядра $D=13,15,17\text{nm}$. Из рисунка следует, что увеличение диаметра приводит к сдвигу максимума вправо. В то же время, учет ПД приводит к существенному снижению величины КУ и небольшому смещению влево по сравнению с локальным случаем.

На рис. 3 показаны результаты для частиц с различными материалами ядра Fe_3O_4 (α) и Fe_2O_3 (γ). Как видно из графиков, использование Fe_2O_3 приводит к дальнейшему смещению в область прозрачности и увеличению КУ на 50% по сравнению с Fe_3O_4 . Это является следствием более высокого показателя преломления у Fe_2O_3 при практическом отсутствии поглощения. В то же время, учет ПД приводит к снижению величины КУ почти на 50% при сдвиге максимума в область коротких длин волн на 10нм.

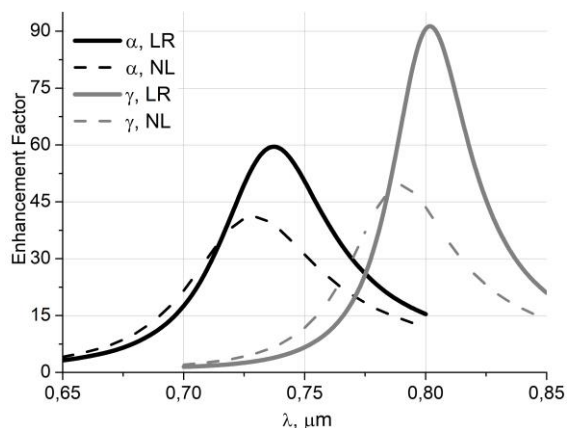


Рис.3 КУ для частиц с материалами ядра Fe_3O_4 (α) и Fe_2O_3 (γ), локальный (LR) и нелокальный (NL) отклик.

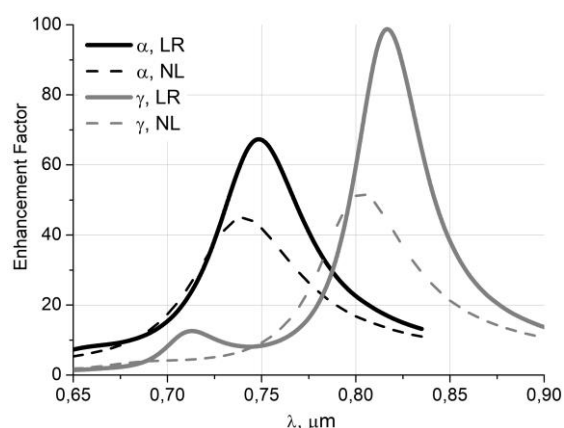


Рис.4 Усреднённый по углам падения и поляризациям КУ для частиц со сдвинутым вправо на 0.7 нм ядром.

Рис. 4 посвящен анализу влияния асимметрии расположения ядра по отношению к оболочке со сдвигом $\delta=0.7\text{нм}$. При этом толщина пленки с одной стороны частицы равна 1.3нм, а с другой 2.7нм, т.е. разница в толщинах достигает 50%. Поскольку заранее неизвестно, как такая частица расположена по отношению к направлению распространения волны, было проведено усреднение КУ по углам падения θ_0 и поляризациям. Здесь существенно используется возможность МДИ получать решение задачи сразу для всего набора углов падения и разных поляризаций. Из рисунка видно, что максимумы сдвигаются вправо при небольшом увеличении амплитуды. Оба этих обстоятельства объясняются появлением тонкой части пленки, которая и определяет амплитуды и положение кривых (см. рис. 1). Дополнительный небольшой максимум на серой сплошной кривой обусловлен резонансом в случае S поляризации, который располагается существенно левее резонанса для P поляризации.

Литература

1. *Pelton M. and Bryant G.* Introduction to Metal-Nanoparticle Plasmonics. Wiley, New York, 2013.
2. *Peixoto L., Magalhães R., Navas D., et al.* Magnetic nanostructures for emerging biomedical applications. // *Appl. Phys. Rev.* 2020. 7, 011310.
3. *Kalambate P.K., Dhanjai., Huang Z., Li Y., et al.* Core@shell nanomaterials based sensing devices: A review.// *Trends Anal. Chem.* 2019. 115. 147-161.
4. *Fattahi Z., Khosroushahi A.Y., Hasanzadeh M.* Recent progress on developing of plasmon biosensing of tumor biomarkers: Efficient method towards early stage recognition of cancer. // *Biomedicine & Pharmacotherapy.* 2020. 132. 1108500.

5. Wang X., Li H., Chen G. 6 - Core-shell nanoparticles for cancer imaging and therapy. // In Core-Shell Nanostructures for Drug Delivery and Theranostics. 2018. 143-175.
6. Brennan G., Bergamino S., Pescio M., et al. The Effects of a Varied Gold Shell Thickness on Iron Oxide Nanoparticle Cores in Magnetic Manipulation, T1 and T2 MRI Contrasting, and Magnetic Hyperthermia. // Nanomaterials. 2020, 10, 2424.
7. Rajkumar S., Prabakaran M. Multi-functional core-shell Fe₃O₄@Au nanoparticles for cancer diagnosis and therapy. // Colloids and Surfaces B: Biointerfaces. 2019. 174. 252-259.
8. Dhey M.A., Aziz A.A., Jameel M.S., et al. Mechanisms of effective gold shell on Fe₃O₄ core nanoparticles formation using sonochemistry method. // Ultrasonics - Sonochemistry. 2020. 64. 104865.
9. David C.; García de Abajo F.J. Spatial Nonlocality in the Optical Response of Metal Nanoparticles. // J. Phys. Chem. C 2011, 115, 19470–19475.
10. Barbry M., Koval P., Marchesin F., Esteban R., et al. Atomistic Near-Field Nanoplasmonics: Reaching Atomic-Scale Resolution in Nanooptics. // Nano Lett. 2015. 15. 3410-3419.
11. Kupresak M., Zheng X., GAE V., Moshchalkov V.V. Appropriate nonlocal hydro- dynamic models for the characterization of deep-nanometer scale plasmonic scatterers. // Adv Theory Simul. 2019. 3, 1900172.
12. Ciraci C., Pendry J. B., Smith D. R. Hydrodynamic model for plasmonics: a macroscopic approach to a microscopic problem. // Chem. Phys. Chem. 2013. 14, 1109–1116.
13. Mortensen N.A., Raza S., Wubs M., et al. A generalized non-local optical response theory for plasmonic nanostructures. // Nat. Commun. 2014. 5, 3809–3815.
14. Еремин Ю.А., Свешников А.Г. Квазиклассические модели квантовой наноплазмоники на основе метода дискретных источников. // ЖВМ и МФ, 2021. 61, №4, С.34-62.
15. Eremin Yu., Doicu A., Wriedt T. Discrete sources method for modeling the nonlocal optical response of a nonspherical particle dimer. // JQSRT. 2018. 217, 35-44.
16. Wubs M., Mortensen A. Nonlocal response in plasmonic nanostructures. Quantum plasmonics. // in: *Quantum Plasmonics*, S. Bozhevolnyi, et al., Eds., Springer, Switzerland. 2017, pp. 279–302.

17. *Maack J. R., Mortensen N. A., Wubs M.* Size-dependent nonlocal effects in plasmonic semiconductor particles. // *Europhys. Lett.*, 2017, 119, No. 1, 17003.
18. *Колтон Д., Кресс Р.* Методы интегральных уравнений в теории рассеяния. М., Мир, 1987. 312с.
19. *Бахвалов Н.С.* Численные методы. М. Наука, 1973.
20. *Eremin Y.; Doicu A.; Wriedt T.* Numerical method for analyzing the near-field enhancement of nonspherical dielectric-core metallic-shell particles accounting for the nonlocal dispersion. // *J. Opt. Soc. Am. A*, 2020, 37.
21. Refractive index database, <https://refractiveindex.info>.
22. *Johnson P.B.; Christy R.W.* Optical Constants of the Noble Metals. // *Phys. Rev. B*. 1972, 6, 4370–4379.
23. *Golovynskyi S., Golovynska I., Stepanova L.I., Datsenko O.I., Liu L., Qu J., Ohulchansky, T.Y.* Optical windows for head tissues in near-infrared and short-wave infrared regions: Approaching transcranial light applications. // *J. Biophotonics*. 2018, 11, e201800141.